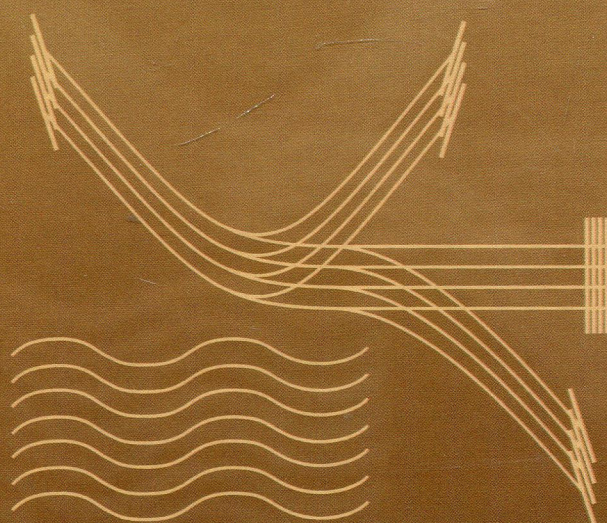


В. Г. ШАВРОВ
В. И. ЩЕГЛОВ

МАГНИТОСТАТИЧЕСКИЕ
ВОЛНЫ
В НЕОДНОРОДНЫХ
ПОЛЯХ



В. Г. ШАВРОВ
В. И. ЩЕГЛОВ

МАГНИТОСТАТИЧЕСКИЕ
ВОЛНЫ
в неоднородных
полях



МОСКВА
ФИЗМАТЛИТ®
2016

УДК 537.874: 537.624
ББК 22.33
Ш 14

*Издание осуществлено при финансовой
поддержке Российского научного фонда,
проект 14-22-00279*

Шавров В.Г., Щеглов В.И. **Магнитостатические волны
в неоднородных полях.** — М.: ФИЗМАТЛИТ, 2016. — 360 с. —
ISBN 978-5-9221-1731-9.

Монография посвящена рассмотрению поверхностных магнитостатических волн (ПМСВ), распространяющихся в магнитных средах с малым затуханием, в первую очередь — в железо-иттриевом гранате (ЖИГ). Получены дисперсионные соотношения для ПМСВ в магнитных пленках и структурах на их основе. Рассмотрено распространение ПМСВ в неоднородных полях различных конфигураций. Получены амплитудно-частотные и фазочастотные характеристики линий передачи на ПМСВ. Обсуждаются возможности практического применения ПМСВ, в частности для обработки информации и в других областях техники.

Монография предназначена специалистам, работающим в области физики магнитных явлений, инженерам и конструкторам СВЧ-аппаратуры, а также студентам и аспирантам соответствующих специальностей.

ОГЛАВЛЕНИЕ

Введение	8
Список наиболее часто используемых сокращений	10
Глава 1. Магнитостатические волны и доменные структуры в пленках ферритов-гранатов	11
1.1. Колебания и волны в магнитоупорядоченных средах в приближении магнитостатики	11
1.2. Условия существования и дисперсия МСВ в магнитных пленках и структурах на их основе	14
1.3. Распространение ПМСВ в произвольном направлении по плоскости пленки	17
1.4. Распространение ПМСВ в ферритовых пленках и структурах в условиях неоднородного намагничивания	22
1.5. Распространение ПМСВ в ферритовых пленках и структурах с периодическими неоднородностями	24
1.6. Преобразование магнитостатической волны в электромагнитную на неоднородности поля	27
1.7. Доменные структуры в ферритовых пленках, ФМР и МСВ в условиях существования доменных структур	28
1.8. Особенности магнитостатических волн в длинноволновом пределе	30
1.9. Использование ФМР, МСВ и доменов в ферритовых пленках для устройств обработки информации	32
1.10. Основные вопросы дальнейшего изложения	34
1.11. Некоторые новые направления исследования МСВ	35
Глава 2. Математический аппарат, используемый при расчете свойств магнитостатических волн	37
2.1. Уравнение Ландау–Лифшица	37
2.2. Динамическая восприимчивость магнитной среды	41
2.3. Уравнение Уокера	46
2.3.1. Уравнение Уокера с произвольным тензором восприимчивости	46
2.3.2. Уравнение Уокера в задаче Дэймона–Эшбаха	49
2.4. Дисперсионное соотношение для магнитной пластины со свободными поверхностями. Решение Дэймона–Эшбаха	50
2.4.1. Основные уравнения	51
2.4.2. Границные условия	53
2.4.3. Полная формулировка задачи	54
2.4.4. Решение уравнений без граничных условий	55
2.4.5. Частотные области объемных и поверхностных волн	61
2.4.6. Вывод дисперсионного соотношения из решения и граничных условий	62
2.4.7. Переход к полярной системе координат	66
2.4.8. Потенциалы	68
2.4.9. Поля	70

2.4.10. Намагниченности	71
2.4.11. Угол отсечки для соотношения Дэймона–Эшбаха	72
2.4.12. Дисперсионное соотношение Дэймона–Эшбаха в декартовой системе координат	74
2.5. Дисперсионное соотношение для структуры металл–диэлектрик–феррит–диэлектрик–металл ($MDFDM$) и его частные случаи	77
2.5.1. Общий вывод дисперсионного соотношения	77
2.5.2. Дисперсионное соотношение при произвольном направлении распространения фазового фронта	82
2.5.3. Переход к полярной системе координат	84
2.5.4. Предельный переход к дисперсионным соотношениям для других структур	86
2.6. Дисперсионное соотношение для структуры металл–диэлектрик–феррит–феррит–диэлектрик–металл ($MDFDFM$)	88
2.6.1. Общий вывод и характер дисперсионного соотношения	88
2.6.2. Предельный переход к дисперсионным соотношениям для других структур	92
2.7. Фазовая и групповая скорости, набег фазы и время задержки волновых пучков ПМСВ	93
2.7.1. Фазовая и групповая скорости	94
2.7.2. Набег фазы и время задержки	98
2.8. Система уравнений для метода Гамильтона–Аулда	99
2.8.1. Общий вывод уравнений Гамильтона–Аулда	100
2.8.2. Переход к полярной системе координат	101
2.9. Производные от дисперсионного соотношения для структуры феррит–диэлектрик–металл	106
2.10. Эквивалентность различных видов уравнений динамики в классической механике	109
2.11. Задача Коши при распространении ПМСВ	111
2.12. Техника расчета траекторий волновых пучков МСВ в неоднородном поле.	115
Выводы по главе 2	118
Глава 3. Магнитостатические волны в однородно намагниченных ферритовых пленках и структурах на их основе	119
3.1. Условия существования и дисперсия ПМСВ в ферритовых пленках и структура на их основе	119
3.1.1. Дисперсионные свойства прямых и обратных ПМСВ в структуре ФДМ	119
3.1.2. Экспериментальное исследование дисперсии ПМСВ в структуре ФДМ	125
3.1.3. О возможности экспериментального наблюдения обратных волн	135
3.2. Распространение ПМСВ в двухкомпонентной среде, состоящей из свободной ферритовой пленки и структуры ФДМ	136
3.2.1. Анализ преломления ПМСВ с помощью метода изочастотных кривых	136
3.2.2. Экспериментальное исследование преломления ПМСВ	143
3.2.3. Коэффициент отражения ПМСВ от границы раздела сред	149

3.3. Дисперсионные свойства ПМСВ в структурах, содержащих два ферритовых слоя	150
3.3.1. Структура феррит–феррит (ФФ)	150
3.3.2. Структура металл–диэлектрик–феррит–феррит–диэлектрик–металл (МДФФДМ)	152
3.3.3. Экспериментальное исследование дисперсии ПМСВ	153
Выводы по главе 3	155
Глава 4. Методы исследования и анализ распространения ПМСВ в условиях подмагничивания продольно неоднородным полем	158
4.1. Основные виды неоднородностей подмагничивающего поля	158
4.2. Пространственная конфигурация областей распространения ПМСВ	160
4.3. Методы анализа распространения ПМСВ в условиях неоднородного подмагничивания	161
4.3.1. Метод изочастотных кривых	161
4.3.2. Метод Гамильтона–Аулда	163
4.3.3. Сравнение методов анализа траекторий ПМСВ	164
4.4. Распространение ПМСВ в ферритовой пленке со свободными поверхностями	165
4.4.1. Анализ траекторий ПМСВ методом изочастотных кривых	165
4.4.2. Анализ траекторий ПМСВ методом Гамильтона–Аулда	169
4.5. Распространение ПМСВ в структуре феррит–металл	178
4.5.1. Линейно неоднородное поле	178
4.5.2. Поле типа «долины»	180
4.5.3. Поле типа «вала»	181
4.5.4. Каналы первого и второго типов	181
4.6. Распространение ПМСВ в структуре феррит–диэлектрик–металл	181
4.6.1. Анализ траекторий ПМСВ методом изочастотных кривых	182
4.6.2. Анализ траекторий ПМСВ методом Гамильтона–Аулда	189
4.7. Набег фазы и время задержки	194
4.7.1. Линейно неоднородное поле	194
4.7.2. Поле типа «долины»	196
4.7.3. Поле типа «вала»	198
4.8. Экспериментальное исследование траекторий ПМСВ	201
4.8.1. Основные параметры эксперимента	201
4.8.2. Линейно неоднородное поле	202
4.8.3. Поле типа «долины»	203
4.8.4. Поле типа «вала»	204
4.8.5. Изменение различных параметров эксперимента	205
Выводы по главе 4	206
Глава 5. Распространение волновых пучков конечной ширины в неоднородно намагниченных ферритовых пленках	212
5.1. Пространственная трансформация широких пучков ПМСВ, распространяющихся в неоднородно намагниченных пленках	212
5.1.1. Линейно неоднородное поле	212
5.1.2. Поле типа «долины»	214
5.1.3. Поле типа «вала»	215

5.2. Метод анализа амплитудно-частотных и фазочастотных характеристик линий передачи на ПМСВ	216
5.2.1. Общая схема метода расчета АЧХ и ФЧХ	217
5.2.2. Схема построения АЧХ	219
5.2.3. Схема построения ФЧХ	220
5.3. Амплитудно-частотные характеристики пропускания линий передачи на ферритовых пленках, намагниченных полями различных конфигураций	222
5.3.1. Однородное поле	222
5.3.2. Линейно неоднородное поле	226
5.3.3. Поле типа «долины»	230
5.3.4. Поле типа «вала»	233
5.4. Амплитудно-частотные характеристики волноведущего канала для ПМСВ, образованного неоднородным полем типа «вала»	240
5.4.1. Изменение длины канала	240
5.4.2. Изменение условий возбуждения канала	242
5.5. Амплитудно-частотные характеристики линий передачи на ПМСВ при произвольной ориентации подмагничивающего поля	245
5.5.1. Общая геометрия двух вариантов расположения преобразователей: взаимно противолежащего и взаимно сдвинутого	245
5.5.2. Фильтрация первого типа, взаимно противолежащая геометрия	247
5.5.3. Фильтрация второго типа, взаимно сдвинутая геометрия	249
5.6. Экспериментальное исследование пучков ПМСВ конечной ширины и амплитудно-частотных характеристик	251
5.6.1. Линейно неоднородное поле	252
5.6.2. Поле типа «долины»	252
5.6.3. Поле типа «вала»	253
Выходы по главе 5	254
Глава 6. Амплитудно-частотные свойства линий передачи на магнитостатических волнах с учетом набега фазы	258
6.1. Общие характеристики типичных линий передачи на ПМСВ	258
6.2. Общий случай волн в магнитной среде	259
6.3. Случай поверхностных магнитостатических волн	263
6.4. Характеристики пропускания линии передачи по амплитуде при различных ее геометрических параметрах	264
6.4.1. Зависимость амплитуды проходящего сигнала от частоты при изменении взаимной ориентации преобразователей	265
6.4.2. Зависимость амплитуды проходящего сигнала от частоты при изменении ширины волнового пучка	267
6.4.3. Зависимость амплитуды проходящего сигнала от взаимной ориентации преобразователей при фиксированной частоте сигнала	270
6.4.4. Зависимость фазы проходящего сигнала от частоты при изменении взаимной ориентации преобразователей	270
6.5. Влияние набега фазы на АЧХ	274
6.5.1. Геометрия задачи при относительном взаимном смещении преобразователей	274

6.5.2. Формирование амплитудно-частотной характеристики	275
6.5.3. Формирование фазочастотной характеристики	277
6.5.4. Влияние длины преобразователей на структуру АЧХ	277
6.6. Деформация волнового фронта поверхностных магнитостатических волн в ферритовых пленках, намагниченных линейно неоднородным полем.	280
6.6.1. Общая геометрия задачи	281
6.6.2. Различные случаи ориентации излучающего преобразователя	283
6.7. Общий характер трансформации области распространения ПМСВ при изменении различных параметров структуры	289
6.7.1. Изменение ориентации излучающего преобразователя	289
6.7.2. Изменение частоты	289
6.7.3. Изменение градиента поля	290
6.8. Рекомендации для оптимизации параметров линии передачи на ПМСВ	292
Выводы по главе 6	292
Глава 7. Использование магнитостатических волн в неоднородно намагниченных ферритовых пленках для устройств обработки информации и других технических приложений	295
7.1. Краткий обзор возможных технических приложений	295
7.2. Волноведущие структуры для ПМСВ на ферритовых пленках, намагниченных полем типа «вала»	296
7.3. Оптимизация формы преобразователей ПМСВ для устройств на неоднородно намагниченных ферритовых пленках	299
7.4. Многоканальный фильтр на ферритовой пленке, намагниченной полем типа «долины»	302
7.5. Многоканальный фильтр на пакетированных ферритовых структурах	304
7.6. Линия задержки сигнала СВЧ на ферритовой пленке, намагниченной полем типа «вала»	307
7.7. Измерение параметров пленок железо-иттриевого граната со сложным характером анизотропии	309
7.8. Исследование пространственного распределения магнитного поля с помощью датчика на ПМСВ	311
7.9. Использование линии передачи на ПМСВ для определения ориентации магнитного поля	312
Выводы по главе 7	314
Список литературы	317